

Га 15

Для научного использования

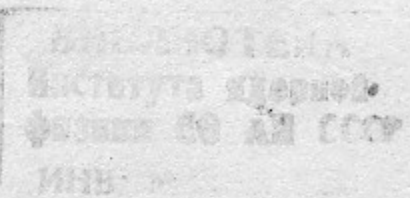
Очужен

+

ИНСТИТУТ ЯДЕРНОЙ ФИЗИКИ СИБИРСКОГО ОТДЕЛЕНИЯ АН СССР

Галицкий В.М., Хейфец С.А.

РАДИАЦИОННЫЕ ЭФФЕКТЫ ПРИ ЭЛЕКТРОН-ЭЛЕКТРОННОМ
СТОЛКНОВЕНИИ.



Гор. Новосибирск
1963 г.

Га 15

Для научного использования

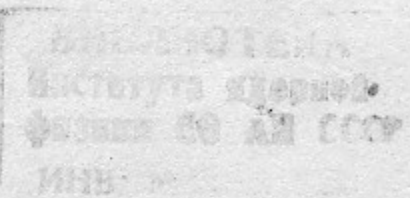
Очужен

+

ИНСТИТУТ ЯДЕРНОЙ ФИЗИКИ СИБИРСКОГО ОТДЕЛЕНИЯ АН СССР

Галицкий В.М., Хейфец С.А.

РАДИАЦИОННЫЕ ЭФФЕКТЫ ПРИ ЭЛЕКТРОН-ЭЛЕКТРОННОМ
СТОЛКНОВЕНИИ.



Гор. Новосибирск
1963 г.

А н н о т а ц и я

Рассмотрен опыт по рассеянию электронов на электронах в с.д.п. Получены распределения по углу между рассеянными электронами и по разности энергий налетающих и конечных частиц.

I. Наличие в квантовой электродинамике инфракрасной расходимости приводит, как известно, к отсутствию в этой теории чисто упругих процессов. Рассмотрим, например, рассеяние в с.д.п. двух электронов с начальными энергиями и импульсами $p_{1\mu}$ ($E; \vec{p}$), $p_{2\mu}$ ($E; -\vec{p}$) и конечными $q_{1\mu}$ ($q_{10}; \vec{q}_1$); $q_{2\mu}$ ($q_{20}; \vec{q}_2$); введем еще для удобства вектор Q_μ с компонентами $Q_0 = 2E - q_{10} - q_{20}$; $\vec{Q} = \vec{q}_1 + \vec{q}_2$. Вероятность этого процесса представляется обычно в виде вероятности упругого рассеяния

$$dW = (2\pi)^4 W_0 d\Omega_0 dQ_0 d\vec{Q} \frac{E^2}{2} \delta(Q) \delta(Q_0) \quad (1)$$

плюс вероятность неупругих процессов с излучением одного и более квантов. Учет радиационных поправок приводит к обращению в нуль первого члена этой суммы (1). Это значит, что в квантовой электродинамике распределение по углу ($\pi - \theta$) между конечными электронами принципиально не может иметь вид δ -функций, а должно быть заменено на некоторое достаточно узкое распределение, которое только при $\alpha \rightarrow 0$ обращается в δ -функцию. То же можно сказать о энергетическом распределении по величине Q_0 . При этом можно ожидать, что отклонение от δ -образных распределений при малых углах θ и малых разностях энергий Q_0 , обусловлено излучением большого числа мягких квантов, в то время как далекие области распределений могут определяться излучением одиночных жестких квантов. Хотя указанные эффекты должны иметь место во всех электродинамических процессах, мы будем, для определенности, иметь в виду указанный выше опыт по рассеянию электронов при углах рассеяния $\theta_{\text{расc}} \gg \hbar/E$ (опыты со встречными пучками). Целью работы является определение начальных участков распределений, т.к. именно они определяют выбор апертуры регистрирующей аппаратуры в проектируемых опытах. Однако будет показано также, что полученные формулы с неплохой точностью описывают поведение функций распределения и в далеких областях.

2. Итак, мы хотим определить вероятность электрон-электронного столкновения, при котором происходит излучение произвольного числа мягких квантов. Полная вероятность, т.е. вероятность упругого рассеяния плюс вероятность рассеяния с излучением произвольного числа квантов, имеет вид:

$$dW = W_0 \delta(Q) \delta(Q_0) d\vec{q}_1 d\vec{q}_2 + d\vec{q}_1 d\vec{q}_2 \int W_1 \delta(\vec{Q} + \vec{k}_1) \delta(Q_0 - \omega_1) d\vec{k}_1 + \dots + d\vec{q}_1 d\vec{q}_2 \int W_n \delta(\vec{Q} + \vec{k}_1 + \dots + \vec{k}_n) \delta(Q_0 - \omega_1 - \dots - \omega_n) d\vec{k}_1 \dots d\vec{k}_n + \dots \quad (2)$$

287

где W_n - вероятность рассеяния с излучением n квантов. Введем параметр Δ , имеющий смысл границы энергии квантов, излучаемых классически. Тогда для квантов с энергией $\omega < \Delta$

$$W_n = W_0 \frac{1}{n!} (W_k)^n \quad (3)$$

где вероятность излучения классического кванта W_k

$$W_k = \frac{\omega}{4\pi^2} \frac{1}{\omega} \left(\frac{p_{1k}}{p_{1k}} + \frac{p_{2k}}{p_{2k}} - \frac{q_{1k}}{q_{1k}} - \frac{q_{2k}}{q_{2k}} \right)^2 \quad (4)$$

Вероятность излучения многих квантов с энергией $\omega > \Delta$ мала. Используя представление δ -функций через фурье-интеграл по параметрам \vec{q}, γ , можно переписать (2) в виде:

$$dW = W_0 d\vec{q}_1 d\vec{q}_2 \int d\vec{k} d\gamma e^{i\vec{Q}\vec{k} + iQ_0\gamma} \exp \left\{ \int^\infty W_k e^{-i\vec{k}\vec{r} - i\omega\gamma} d\vec{k} \right\} + \\ + d\vec{q}_1 d\vec{q}_2 \int^\infty W_0 (q_1 q_2 k_1) e^{i(Q_1 + k_1)\vec{k} + i(Q_0 - \omega)\gamma} \exp \left\{ \int^\infty W_k e^{-i\vec{k}\vec{r} - i\omega\gamma} d\vec{k} \right\} d\vec{k} d\gamma \quad (5)$$

где не выписаны члены, соответствующие излучению двух и более неклассических квантов. С этой же точностью, представляя $\exp \left\{ \int^\infty W_k \right\}$ в виде $\exp \left\{ \int^\infty W_k - \int^\infty W_k \right\}$ и разлагая по степеням $\left\{ \int^\infty W_k \right\}$, можно записать (5) в виде:

$$dW = W_0 d\vec{q}_1 d\vec{q}_2 \int d\vec{k} d\gamma e^{i\vec{Q}\vec{k} + iQ_0\gamma} \exp \left\{ \int^\infty W_k e^{-i\vec{k}\vec{r} - i\omega\gamma} d\vec{k} \right\} + \\ + d\vec{q}_1 d\vec{q}_2 \int^\infty d\vec{k} [W_0 - W_0 W_k] e^{i(Q_1 + k_1)\vec{k} + i(Q_0 - \omega)\gamma} \exp \left\{ \int^\infty W_k e^{-i\vec{k}\vec{r} - i\omega\gamma} d\vec{k} \right\} d\vec{k} d\gamma \quad (6)$$

В интеграле по \vec{k} , нижний предел можно положить равным нулю, т.к. при $\omega < \Delta$ выражение в квадратных скобках обращается в нуль (см.(3)). Второй (и остальные невыписанные) члены соответствуют излучению неклассических квантов. Распределение при малых углах между рассеянными электронами должно определяться излучением мягких квантов, т.е. первым членом в (6). Учет радиационных поправок от виртуальных квантов приводит к тому,

что показатель экспоненты заменяется на выражение вида

$$\int w_k(e^{i\vec{Q}_1 \cdot \vec{Q} - i\omega_1 t} - 1) d\vec{\kappa} \quad (7)$$

Перейдем еще от $d\vec{q}_1 d\vec{q}_2$ к $d\vec{\alpha} dQ_0 d\vec{Q}$, направив единичный вектор \vec{n} по импульсу одного из рассеянных электронов \vec{q}

$$d\vec{q}_1 d\vec{q}_2 = d\vec{\alpha} dQ_0 d\vec{Q} \frac{(Q_0^2 - Q^2)^2 (Q_\perp^2 + (\vec{Q}_0 - \vec{Q}_\perp)^2)}{8(\vec{Q}_0 - \vec{Q}_\perp)^4} \quad (8)$$

$$Q_\perp = \vec{Q} \cdot \vec{n}; \quad [Q_\perp \vec{n}] = 0; \quad 0 < \vec{Q}_0 < \infty; \quad \vec{Q}^2 \leq \vec{Q}_0^2; \quad \vec{Q} = 2\epsilon - Q_0$$

Распределение по Q_0 дает энергетический разброс, т.е. отличие $2\epsilon - Q_0 - Q_\perp$ от 0, распределение по \vec{Q} есть угловое распределение. Поскольку ожидаемые распределения должны быть близки к распределениям в виде δ -функций, т.е. должны быть достаточно узкими, то в якобиане перехода можно приближенно положить $\vec{Q}_0 \approx 2\epsilon$; $\vec{Q} \approx 0$, так что

$$d\vec{q}_1 d\vec{q}_2 = d\vec{\alpha} dQ_0 d\vec{Q} \frac{\epsilon^2}{2} \quad (9)$$

Сравнение (6), (9) с учетом (7) с вероятностью упругого рассеяния (1) показывает, что функция распределения имеет вид:

$$df = dQ_0 d\vec{Q} \frac{1}{(2\pi)^3} / d\vec{\alpha} d\gamma e^{i\vec{Q}_1 \cdot \vec{Q} + iQ_0 \gamma} \exp \left\{ \int w_k(e^{i\vec{Q}_1 \cdot \vec{Q} - i\omega_1 t} - 1) d\vec{\kappa} \right\} \quad (10)$$

Это распределение при $\omega \rightarrow 0$ ($w_k \rightarrow 0$) действительно имеет вид произведения δ -функций. Вклад от неклассических квантов (второй член в (6)) будет оценен позже.

3. Энергетическое распределение может быть найдено из (10) интегрированием по $d\vec{Q}_1$, $Q^2 \leq (2\epsilon - Q_0)^2$. Тогда в качестве подинтегральной функции, зависящей от \vec{Q}_1 , получим функцию, отличную от нуля лишь в области $\vec{Q}_1 \sim 1/(2\epsilon - Q_0)$. Это позволяет опустить $e^{i\vec{Q}_1 \cdot \vec{Q}}$ в показателе экспоненты в (10), т.к. существенные члены порядка $Q_0^{-1} \gg (2\epsilon - Q_0)^{-1}$. Таким образом, энергетическое распределение определяется интегралом

$$df_e = \frac{dQ_0}{2\pi} \int_{-\infty}^{\infty} d\gamma e^{iQ_0\gamma} \exp \left\{ \int_{\omega}^{\epsilon} dk (e^{-i\omega\gamma} - 1) W_k \right\}$$

При вычислении интеграла, стоящего в экспоненте, можно считать $q_1 + q_2 = 0$. Для простоты будем рассматривать рассеяние на $\frac{\pi}{2}$, тогда $\vec{p}\vec{q} = 0$. Если оставлять лишь члены, дающие произведения логарифмов, то слагаемые в (4) пропорциональные m^2 можно опустить, а перекрестные члены (p_2) записать как

$$\frac{[\omega^2 \epsilon^2 - (\mu \bar{\kappa})^2][\omega^2 \epsilon^2 - (q \bar{\kappa})^2]}{[\omega^2 \epsilon^2 - (p \bar{\kappa})^2]} \approx \frac{1}{\omega^2 \epsilon^2} \left(\frac{1}{\epsilon^2 \omega^2 - (\mu \bar{\kappa})^2} + \frac{1}{\epsilon^2 \omega^2 - (q \bar{\kappa})^2} \right) \quad (II)$$

Тогда:

$$\int dk W_k (e^{-i\omega\gamma} - 1) = - \frac{i\alpha\epsilon}{\pi} (L_2 \epsilon / \gamma - \frac{5}{2} \text{Im } L_2) \quad (12)$$

$$L_2 = L \cdot \epsilon^2 / m^2$$

Возникающие при интегрировании интегральный синус и косинус $C(\epsilon\gamma), S(\epsilon\gamma)$ можно опустить, т.к. для характерных $\gamma \sim (Q_0)^{-1}$ аргумент $\epsilon\gamma \gg 1$. Окончательно получим нормированную функцию распределения по энергии в виде:

$$df_e = \frac{2\alpha\epsilon}{\pi} / \frac{Q_0}{2\epsilon} /^{-1+ \frac{i\alpha\epsilon}{\pi}} \frac{dQ_0}{\epsilon} \quad (13)$$

$$0 < Q_0 < 2\epsilon$$

4. угловое распределение получается из (10) интегрированием по α . Будем искать сначала распределение в плоскости рассеяния, для чего полученное выражение следует еще проинтегрировать по $dQ_r (Q_r \perp \vec{Q}_p; Q_r \perp \vec{n}; Q_p - \text{проекция } \vec{Q}_r \text{ на плоскость рассеяния})$. Тогда, упрощая полученное выражение так же, как в случае энергетического распределения, можно положить $\gamma = \beta_r = 0$ и для W_k использовать соотношение (II). После этого в показателе экспоненты будет стоять интеграл

$$J = \frac{\alpha}{\pi^2} \int \frac{dk}{\omega} (e^{i\vec{k}\vec{p}} - 1) \left(\frac{1}{\omega^2 - (\vec{p}\bar{\kappa})^2} + \frac{1}{\omega^2 - (\vec{q}\bar{\kappa})^2} \right) \quad (14)$$

$$\vec{p}\vec{p} = \beta^2; \quad \vec{q}\vec{q} = 0$$

Он легко сводится к интегралу вида

$$J = -\frac{4\omega}{\pi} \int_{-\infty}^{\infty} [b_1 \epsilon \beta x - G \epsilon \beta x] \left(\frac{1}{1 - \nu^2 x^2} + \frac{1}{\sqrt{x^2 + (\omega/\epsilon)^2}} \right)$$

Оценка последнего при $\epsilon \gg 1$ приводит к выражению

$$J = -\frac{2\omega}{\pi} (L b_1 \epsilon \beta + b_1^2 \epsilon \beta) \quad (15)$$

Используя (15) найдем вид нормированной функции распределения

$$df_p = \frac{dQ_p}{|Q_p|} \frac{2\omega}{\pi} (L + b_1 \epsilon \beta / |Q_p|) \exp \left\{ -\frac{2\omega L}{\pi} b_1 \epsilon \beta / |Q_p| - \frac{\omega}{\pi} b_1^2 \epsilon \beta / |Q_p| \right\} \quad (16)$$

$$- \epsilon < Q_p < \epsilon, \quad |Q_p| > \omega$$

Распределение (17) можно переписать как функцию угла θ между рассеянными электронами, поскольку при малых θ $|Q_p| = \epsilon \theta$. При $\theta \gg \gamma_e$

$$df_p = \frac{2\omega L}{\pi} \cdot \frac{d\theta}{\theta^{1 - \frac{2\omega L}{\pi}}} \quad (17)$$

Распределение (17) нормировано на интеграле $0 < \theta < 1$. Интересно отметить, что члены, пропорциональные большому логарифму L , появилась в (16) от члена $(\omega^2 - (\sqrt{\mu} \epsilon)^2)^{-1}$ в (14), т.е. они обусловлены излучением начальных электронов. Это можно было ожидать, т.к. излучение направляется, в основном, по движению электронов и, следовательно, большой поперечный (относительно движения рассеянных электронов) импульс может быть унесен только фотонами, излученными начальными электронами. По этой же причине угловое распределение в плоскости, перпендикулярной плоскости рассеяния, должно быть очень узким, т.к. импульс, уносимый в этом направлении квантами, излученными начальными и конечными электронами, очень мал и равен, по порядку величины, $\kappa_\perp \sim \omega \theta \kappa \sim \omega^2 / \epsilon$. Для того, чтобы найти явный вид этого распределения, проинтегрируем (10) по $dQ_0 dQ_p$ и упростим выражение так же, как и раньше. Возникающий в показателе экспоненты интеграл имеет вид (14), но вместо β_p стоит β_0 , $\tilde{\beta}_0 \sqrt{\nu_p} = 0$; $\tilde{\beta}_0 \sqrt{\nu_0} = 0$

Оценка его приводит к выражениям:

$$J = -\frac{4\alpha}{\pi} \ln^2 \epsilon; \quad \text{при } \frac{\epsilon}{\varepsilon} \gg \epsilon \gg 1$$

$$J = -\frac{4\alpha}{\pi} (2 \ln \frac{\epsilon}{\varepsilon} \ln \epsilon - \ln^2 \frac{\epsilon}{\varepsilon}) \quad \text{при } \epsilon \gg \frac{\epsilon}{\varepsilon} \gg 1$$

Это дает для функции распределения по углу в плоскости, перпендикулярной плоскости рассеяния:

$$df_r = \frac{dQ_r}{|Q_r|} \frac{4\alpha \rho(\varepsilon)}{\pi} \exp \left\{ -\frac{4\alpha}{\pi} [2 \ln \frac{\epsilon}{\varepsilon} \ln |Q_r| - \ln^2 |Q_r|] \right\} \quad |Q_r| < \sim (18)$$

$$df_r = \frac{dQ_r}{|Q_r|} \frac{4\alpha \ln |Q_r| / \varepsilon}{\pi} \exp \left\{ -\frac{4\alpha}{\pi} \ln^2 |Q_r| / \varepsilon \right\} \quad |Q_r| > \sim$$

$$-\varepsilon < Q_r < \varepsilon$$

При малых углах $|Q_r| = E\theta$. Распределение (18) получается нормированным на единицу. Легко определить из него, что 77% электронов рассеиваются на угол, соответствующий Q_r меньшим \sim , и уже 90% электронов рассеиваются на угол, меньший $5''/\varepsilon$ или $1,5^\circ$ (цифры приведены для энергии начальных электронов равной 100 Мэв). В плоскости рассеяния распределение гораздо более вытянуто. Введем величину φ , обозначающую долю электронов, рассеянных на угол, меньший θ_2 . Из (17) легко найти, что

$$\theta_2 = 1/2 \sqrt{2 \alpha L} \quad (19)$$

Используя эту формулу, легко найти, что при 100 Мэв 50% распределения ($\varphi = 0,5$) лежат в пределах $1''$, а 90% распределения в пределах 10° . При 500 Мэв аналогичные цифры равны $10''$ и $13,5^\circ$. Ниже приведена таблица зависимости $df_r/d\theta$ от угла между рассеянными электронами, составленная по формуле (17). Энергия начальных электронов принята равной 100 Мэв.

Т.1. Угловое распределение электронов в плоскости рассеяния.

θ	20°	40°	1°	5°	10°	15°	20°
$df_r/d\theta$	4,5	2,4	1,56	0,30	0,15	0,10	0,07

302

Формулы (I3), (I7), (I8) для энергетического и угловых распределений получены при рассеянии электронов на $\frac{\pi}{2}$. Если угол рассеяния $\theta_{\text{расc}} < \frac{\pi}{2}$ то они сохраняют свою структуру, но $L = L \cdot e^{\epsilon/\epsilon}$ заменяется на

$$L = L \cdot \frac{2(s_0 + \sqrt{s_0^2 + \gamma^2 \cos^2 \theta})}{s_0 - \nu + \sqrt{\gamma^2 \cos^2 \theta + (s_0 - \nu)^2}},$$

$$\gamma = \epsilon/\epsilon; \quad s_0 = h \cdot \theta_{\text{расc}}; \quad \cos \theta_{\text{расc}}$$

Это утверждение остается справедливым до углов рассеяния $\theta_{\text{расc}} \gg \frac{\pi}{2}$

5. Выясним теперь, какой вклад могут дать неклассические ("жесткие") кванты. Поскольку члены, имеющие вид $d\omega/\omega$ в (6) сокращаются, то вклад жестких квантов может привести к добавкам к функции распределения по энергии типа $\lambda \frac{dQ}{\omega} dQ_0$, где λ - некоторая постоянная. Сравнение с функцией распределения (I3), обусловленной излучением мягких квантов, показывает, что последнее всегда будет определяющим при малых $2\epsilon - Q_0 - \gamma_0$. Величина поправки к (I3) от жестких квантов зависит от значения постоянной λ . Для ее определения можно воспользоваться точной формулой Гарияна Г.М./I/ для сечения рассеяния электрона на электроне с излучением одного кванта. Проведенные таким образом оценки показывают, что полученное выше распределение (I3) должно быть справедливо с точностью порядка 30% до $Q_0 \sim 0,5\epsilon$. То же можно сказать и об угловом распределении (I7). Ниже в качестве иллюстрации сравниваются данные для энергетического распределения по величине $K = Q_0 = 2\epsilon - \gamma_0 - \gamma_\infty$, найденные по формуле (I3) и с помощью численного интегрирования формулы Гарияна (рассеяние на $\frac{\pi}{2}$; энергия начальных электронов 100 Мэв). Вычислены $L [137 \frac{d}{d(Q_0/\epsilon)}]$

T.2. Сравнение энергетических распределений.

Q_0/ϵ	$5 \cdot 10^{-3}$	10^{-2}	0,1	0,15	0,2	0,3	0,4	0,5
$L \frac{1}{2} \frac{df}{dQ_0}$ (I3)	7,35	6,73	4,68	4,33	4,07	3,73	3,46	3,26
Численный счет	7,38	6,68	4,39	4,00	3,73	3,3	3,14	3,12

Значения функций в Т.2 отличаются в среднем в 1,35 раза, что, примерно, соответствует ожидаемой точности. Как видно из таблицы, формула (I3) достаточно хорошо определяет вид функции распределения и при больших значениях аргумента.

303

В заключение авторы благодарят Байера В.Н. и Сидорова В.А. за ценные обсуждения, Сынаха В.С. и Тумачек О. за помощь при проведении численного счета.

Литература

/I/ Гарибян Г.М. Изв.АН Арм.ССР У, № 3, 1952 г.